

# Simulation von Kalmanfiltern mit Simulink

Einleitung

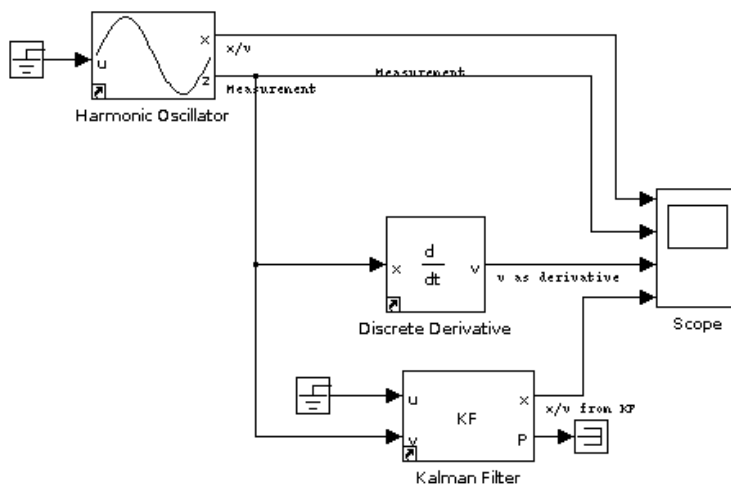
Simulink-Bausteine für eine Kalman-Filter-Bibliothek

Anwendung: Grundideen der Trägheitsnavigation

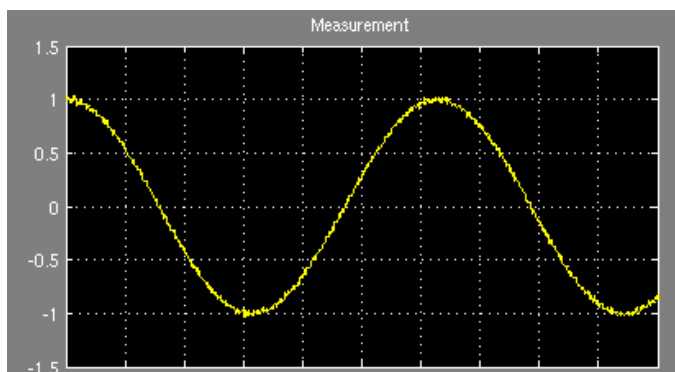
Kalman-Filter für nichtlineare Systeme

# Einleitung

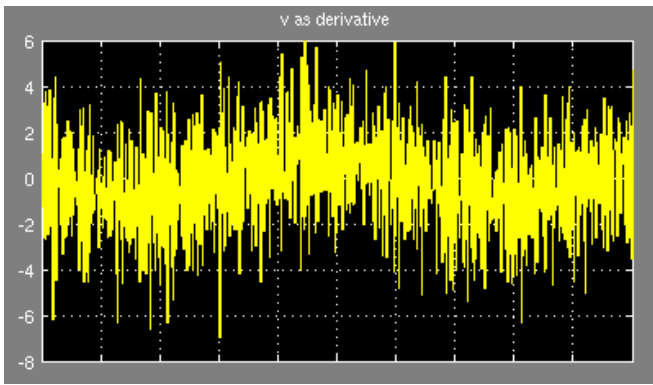
- Worum geht es:
  - Simulink einsetzen können, um Messprobleme mit Kalman-Filter zu simulieren
- Was wird nicht behandelt:
  - Mathematik des Kalman-Filters  
aber Angabe der Grundgleichungen und Motivation
  - fortgeschrittene Anwendungen aus dem Vermessungsbereich  
aber einfache Grundideen der Trägheitsnavigation
- Beispiel:
  - Modell [schwingX.mdl](#)



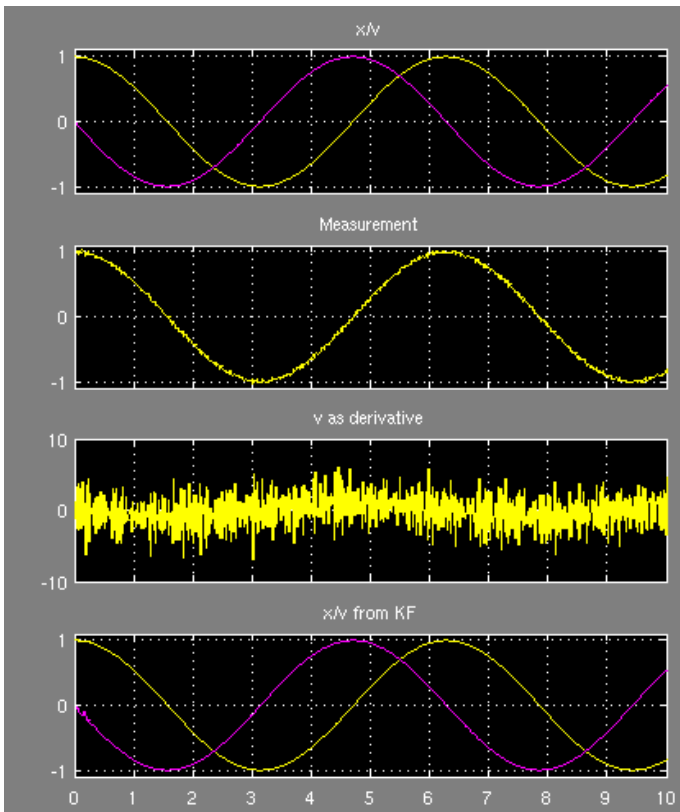
- benutzt Blockbibliothek [kalmanlib.mdl](#)
- Geschwindigkeit eines harmonischen Schwingers soll bestimmt werden
- Messung liefert nur Ort, leicht verrauscht



- naive Rekonstruktion von  $v$  als (diskreter) Ableitung liefert Unsinn



- Rekonstruktion mit Kalman-Filter ergibt sehr gute Übereinstimmung



# Simulink-Bausteine für eine Kalman-Filter-Bibliothek

Modell für einen harmonischer Oszillator

Zeitdiskrete Modelle

Kalman-Filter

# Modell für einen harmonischer Oszillator

- Harmonischer Oszillator:
  - beschreibt harmonische Schwingungen  $x(t)$
  - angetrieben durch äußere Kraft  $F(t)$
  - Bewegungsgleichung

$$\ddot{x} + \omega_0^2 x = u(t)$$

- Parameter

$\omega_0$	Kreisfrequenz $2\pi f$
$x_0$	Anfangsauslenkung
$v_0$	Anfangsgeschwindigkeit
$u(t)$	äußere Beschleunigung $F(t)/m$

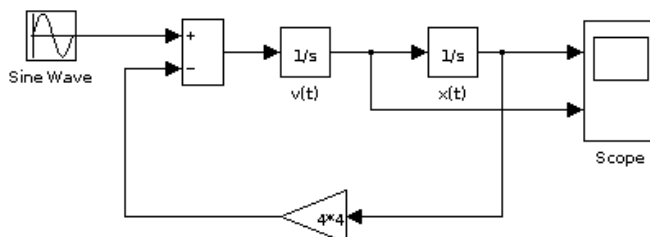
- Grundidee von Simulink:
  - Modell besteht aus Blöcken mit Ein- und Ausgängen
  - Blöcke werden durch Leitungen verbunden (natürlich Ausgang mit Eingang)
  - auf den Leitungen liegen Signale, die in bestimmtem Zeitschritten aktualisiert werden
    - diskrete Systeme: Zeitpunkte festgelegt (meistens mit fester Frequenz)
    - kontinuierliche Systeme (Differentialgleichungen): Zeitpunkte werden vom DGL-Solver bestimmt

- Aufbau des Modells mit Simulink:

- Vorgehensweise
  - DGL nach höchster Ableitung auflösen (hier  $\ddot{x}$ )

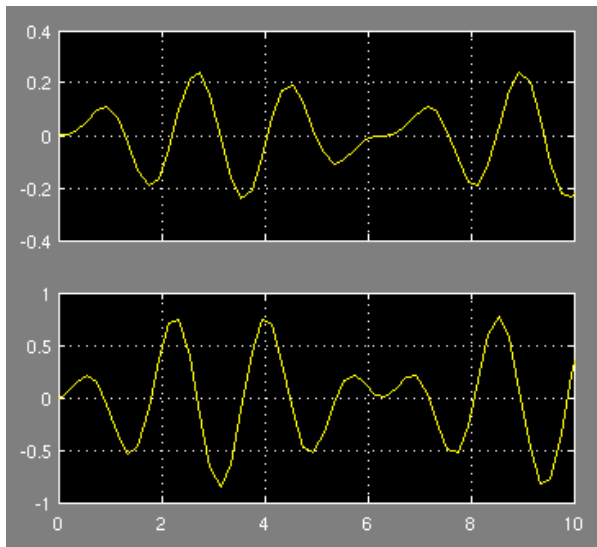
$$\ddot{x} = u(t) - \omega_0^2 x$$

- Signal  $x$  festlegen
- Integrator davor  $\rightarrow$  am Eingang liegt  $\dot{x}$
- Integrator vor  $\dot{x} \rightarrow$  am Eingang liegt  $\ddot{x}$
- durch geeignete Schleife Differentialgleichung zusammenbauen
- Modell [model\\_harmonic.mdl](#)

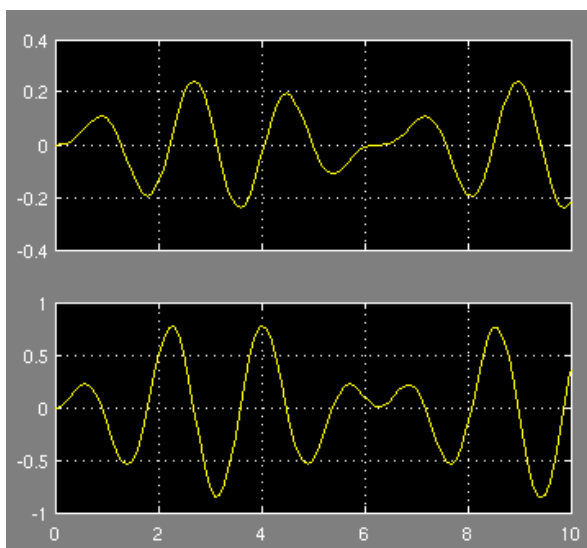


- Details zum Aufbau

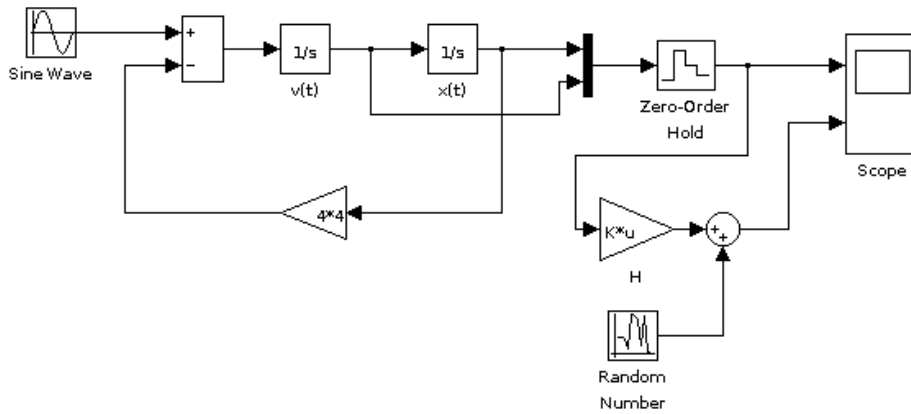
- Blöcke aus Simulink-Bibliothek holen
  - Gain-Block mit Format/Flip Block spiegeln
  - Oscilloscope öffnen, Parameters öffnen, Number of axes = 2
  - Leitungen verlegen, Abzweigungen mit <STRG>-Klick
  - Oscilloscope etwas vergrößern
  - Sine Wave öffnen, Frequency = 3
  - Gain öffnen, Gain = 4\*4
  - Format/Hide Name bei Subtract und Gain
  - Namen der Integratoren auf v(t) bzw. x(t) ändern
- Simulation starten mit Simulation/Start
    - im Osci auf "Fernglas" klicken (optimale Skalenwahl)
    - → Bild ist eckig



- Simulation/Configuration Parameters öffnen
  - Solver/Max Step Size = 0.1 →



- Oszillator mit Messungen:
  - Modell soll ergänzt werden um Messung incl. Messrauschen
  - Ergebnis [model\\_harmonic2.mdl](#)

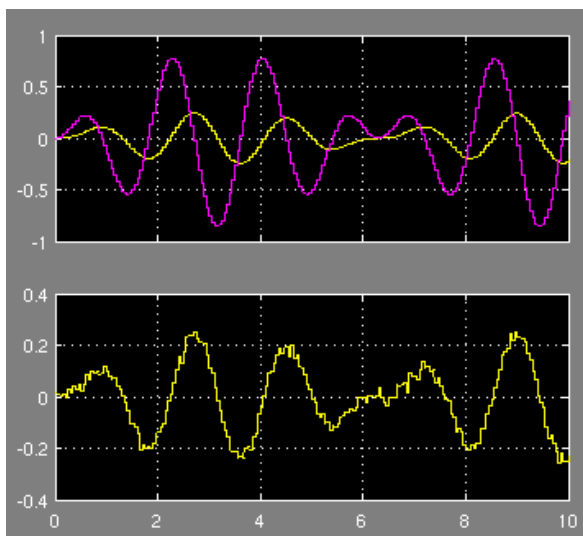


o Aufbau

- Blöcke hinzufügen: Mux, Zero Order Hold, Gain, Sum, Random Number
- Leitungen zum Osci lösen und neue Signalleitungen legen
- Block-Parameter

Block	Parameter	Wert
Zero Order Hold	Sample time	0.05
Gain	Gain	[1,0]
Gain	Multiplication	Matrix(K*u)
Random Number	Variance	2e-4
Random Number	Sample time	0.05

o Ergebnis



o Funktionsweise

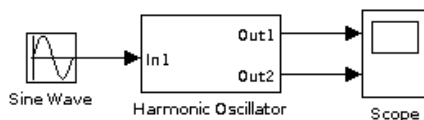
- Multiplexer fasst x und v zu einer Vektorleitung zusammen mit Signal  $(x, v)^T$
- Zero Order Hold erzeugt daraus Samplewerte im Abstand  $dt = 0.05$  (Oszi oben)
- Gain macht aus dem Vektorsignal durch Multiplikation mit  $(1 \ 0)$  wieder x

$$\begin{pmatrix} 1 & 0 \end{pmatrix} \begin{pmatrix} x \\ v \end{pmatrix} = x$$

- Random Number erzeugt zu jedem Zeitschritt (Sample Time) normalverteilte

## Zufallszahl mit gegebenem Mittelwert (0) und Varianz (0.0002)

- Erzeugen eines Bibliotheksblocks:
  - Ziel: Erzeugen eines universell einsetzbaren Blocks "Harmonischer Oszillator"
  - 1. Schritt: Erzeugen eines Subsystems
    - Markiere mit der Maus ganzes Modell außer Sine Wave und Osci
    - Edit/Create Subsystem
  - Ergebnis (nach Umbenennung und leichter Verschiebung)



- 2. Schritt: wichtige Parameter direkt zugreifbar machen
  - Edit/Mask Subsystem/Parameters
  - Eingabe von Beschriftungen und Variablennamen

Beschriftung	Variablenname
angular frequency	omega0
initial displacement	x0
initial velocity	v0
variance of measurement	R
initial seed	seed
sample time	dt

- Doppelklick → Parametermaske öffnet sich
- Werte eintragen

Subsystem (mask)

---

Parameters

angular frequency

initial displacement

initial velocity

variance of measurement

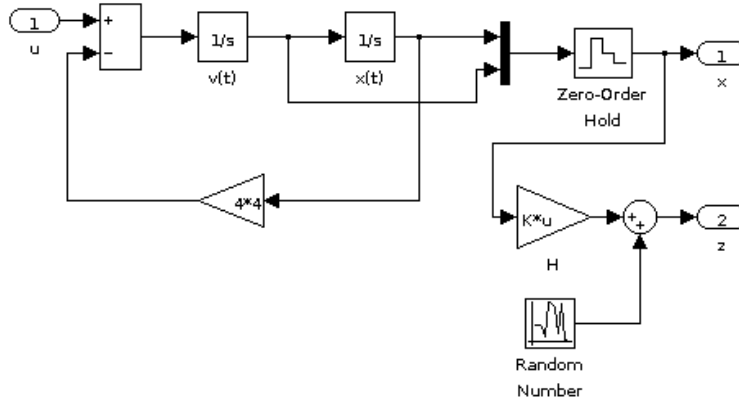
initial seed

sample time

- Hinweis:



- initial seed initialisiert den Zufallszahlengenerator
  - anderer Wert → andere Zahlenfolge
- 3. Schritt: Variablen ins Submodell eintragen
- Subsystem öffnen mit Edit/Look Under Mask
  - Eingang In1 umnennen zu u
  - Ausgänge Out1/Out2 umnennen zu x/v



- Variablen eintragen:

Block	Parameter	alter Wert	neuer Wert
Gain	Gain	4*4	omega0*omega0
Integrator x(t)	Initial condition	0	x0
Integrator v(t)	Initial condition	0	v0
Random Number	Variance	2e-4	R
Random Number	Initial Seed	0	seed
Random Number	Sample time	0.05	dt
Zero Order Hold	Sample time	0.05	dt

- 4. Schritt: Block dokumentieren
- Edit/Edit Mask/Documentation
  - Mask Type

Harmonic oscillator

- Mask description

Linear oscillator

u: control input

x: system output (x, v)

y: measurement output (x + W)

- Mask help (erscheint bei "Help" in der Matlab-Dokumentation)

Harmonic oscillator that is sampled with sample time dt

<ul>

<li>System output x: vector of position and velocity</li>

<li>Measurement output y: measurement of position x, including a normal random noise</li>

- Input u: control input, defining an external driving force

- Parameter-Maske damit

Harmonic oscillator (mask)

Linear oscillator  
u: control input  
x: system output (x, v)  
y: measurement output (x + W)

Parameters

angular frequency  
4

initial displacement  
0

initial velocity  
0

variance of measurement  
2e-4

initial seed  
0

sample time  
0.05

OK Cancel Help Apply

- 5. Schritt: Block verschönern

- Edit/Edit Mask/Icon/Drawing commands
- Erzeugen eines Icons mit Matlab-Zeichen-Kommandos, z.B.

```
plot(0:0.1:2*pi, sin(0:0.1:2*pi))  
port_label('input', 1, 'u')  
port_label('output', 1, 'x')  
port_label('output', 2, 'z')
```

- Modell `model_harmonic3.mdl` damit



# Zeitdiskrete Modelle

- Lineare diskrete Systeme:

- Idee: System direkt diskret modellieren statt kontinuierliches System zu sampeln
- lineares Modell mit innerem Zustandsvektor  $x_k$ , äußerer Einflussgröße  $u_k$  und Rauschen  $w_k$  (Systemrauschen):

$$x_{k+1} = Ax_k + Bu_k + w_k$$

- $w_k$  ist Gaußsches Rauschen mit Mittelwert 0 und Kovarianzmatrix  $Q$ , geschrieben

$$w_k \in \mathcal{N}(0, Q)$$

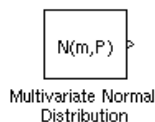
- häufiger Spezialfall: kein  $u \Leftrightarrow B = 0$
- $x$  nicht direkt beobachtbar, stattdessen Messgrößen  $z$ , die linear von  $x$  abhängen und ebenfalls Gaußsches Rauschen (Messrauschen) aufweisen:

$$z_k = Hx_k + v_k, \quad v_k \in \mathcal{N}(0, R)$$

- Dimensionen der Größen (Zeilenzahl x Spaltenzahl)
  - $x(n \times 1)$ ,  $A(n \times n)$ ,  $Q(n \times n)$
  - $z(l \times 1)$ ,  $H(l \times n)$ ,  $R(l \times l)$

- Modell für Gaußsches Rauschen:

- eigener Subblock



- Parameter über Maske vorgebar

Multivariate Normal Distribution (mask) (link)

Output a multivariate normally (Gaussian) distributed random signal.

Parameters

Mean  
0

Covariance matrix  
[3, -1.5; -1.5, 2]

Initial seed  
42

Sample time  
0.1

OK Cancel Help

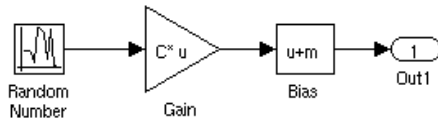
- zur Berechnung eines Vektors normalverteilter Zufallszahlen mit Kovarianz  $P$  bestimme  $C$  mit

$$C^T C = P$$

- in Matlab mit

```
[C, res] = sqrtm(P);
```

- Simulink-Modell dann



- Parameter von Random Number

Random Number

Output a normally (Gaussian) distributed random signal. Output is repeatable for a given seed.

Parameters

Mean:  
0

Variance:  
1

Initial seed:  
seed

Sample time:  
tS

Interpret vector parameters as 1-D

OK Cancel Help

- C wird als zusätzlicher Parameter in Mask Editor/Parameters aufgenommen

Icon \ Parameters \ Initialization \ Documentation \

Dialog parameters

Prompt	Variable	Type	Evaluate	Tunable
Mean	m	edit	<input checked="" type="checkbox"/>	<input checked="" type="checkbox"/>
Covariance matrix	P	edit	<input checked="" type="checkbox"/>	<input checked="" type="checkbox"/>
Initial seed	seed	edit	<input checked="" type="checkbox"/>	<input checked="" type="checkbox"/>
Sample time	tS	edit	<input checked="" type="checkbox"/>	<input checked="" type="checkbox"/>
Root of P	C	edit	<input checked="" type="checkbox"/>	<input checked="" type="checkbox"/>

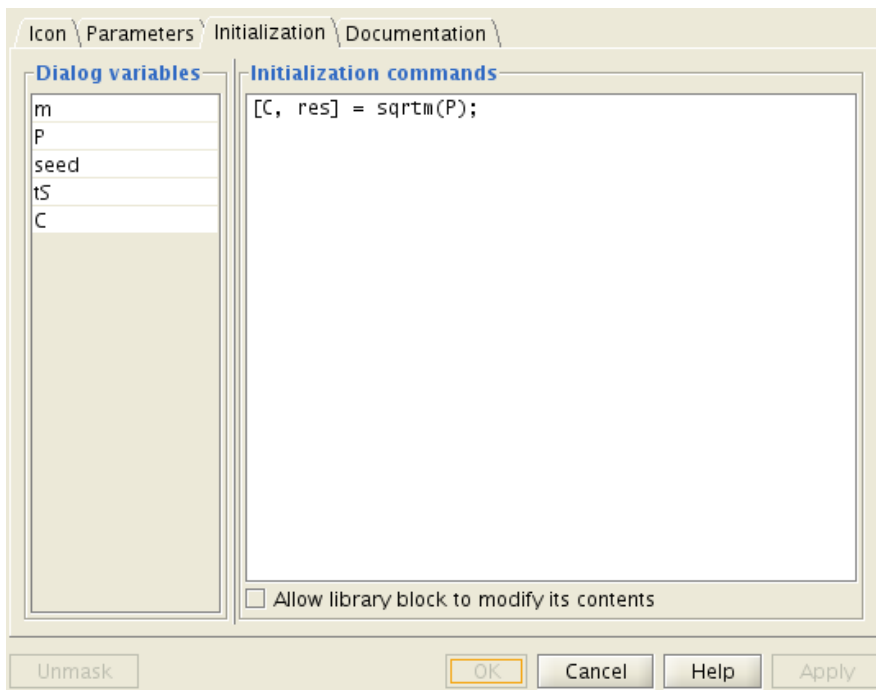
Options for selected parameter

Popups (one per line): In dialog:  Show parameter  Enable parame...

Dialog callback:

Unmask OK Cancel Help Apply

- "Show parameter" deaktiviert → C erscheint nicht in der Maske
- automatische Berechnung von C aus Q in Mask Editor/Initialization

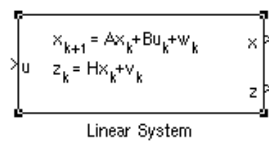


- Beschriftung des Blocks mit Kommando in Mask Editor/Icon

`disp('N(m, P)')`

- Modell für lineares diskretes System:

- Subblock



- Parameter

Linear System with Noise (mask)

Linear System with Gaussian Noise given by  
 $x(k+1) = A x(k) + B u(k) + w(k)$   
 $y(k) = H x(k) + v(k)$   
 $w(k), v(k)$  are Gaussian random variables with mean 0 and variance Q, R

Parameters

system matrix A

control matrix B

observation matrix H

variance of system noise Q

variance of measurement noise R

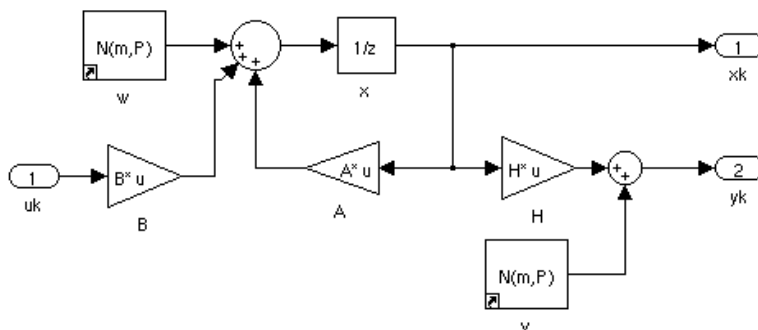
initial value x0

sample time

initial seed

OK Cancel Help Apply

o Aufbau



o Block Unit Delay (1/z)

- gibt Eingangswert beim nächsten Sample-Zeitpunkt aus
- hat Anfangswerte für Start
- entspricht Integrator bei kontinuierlichen Systemen

o Problem mit Zufallszahlen

- gleiche seed → gleiche Werte → unerwünschte Korrelationen im Modell

o Lösung

- Block w hat seed1, Block v hat seed2
- Berechnung in Mask Editor/Initialization

```
N = size(Q, 1);
M = size(R, 1);
seed1 = (seed:(seed+N-1))';
seed2 = ((seed+N):(seed+N+M-1))';
```

- Achtung:
  - in Modellen mit mehreren Linear Systems seed so wählen, dass keine Überschneidungen auftreten!
- Beschriftung des Blocks in Mask Editor/Icon

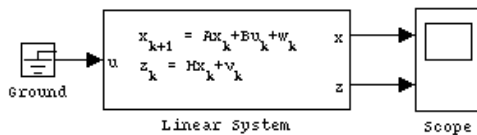
```

text(0.15, 0.65, 'x_{k+1} = Ax_k+Bu_k+w_k',
'texmode', 'on', 'horizontalAlignment', 'left')
text(0.15, 0.35, 'z_k = Hx_k+v_k',
'texmode', 'on', 'horizontalAlignment', 'left')
port_label('output', 1, 'x')
port_label('output', 2, 'z')
port_label('input', 1, 'u')

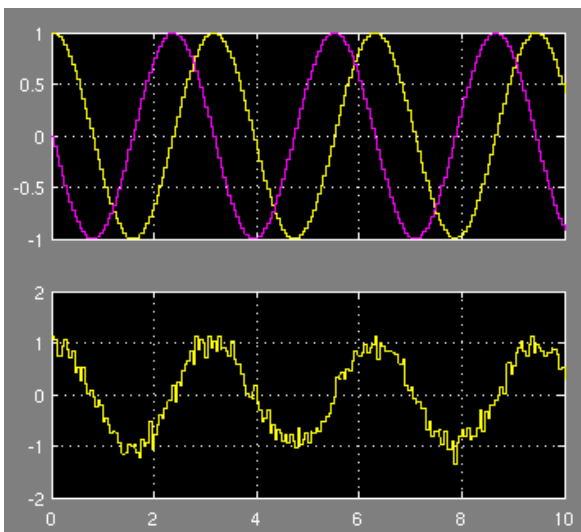
```

- Beispiel-Lauf:

- Modell [model\\_linear\\_system.mdl](#) mit Standard-Parametern



- Ergebnis



- Ground-Block
  - schickt 0
  - verhindert Warnung über nicht angeschlossenen Eingang
- System enthält keine kontinuierlichen Zustände, braucht Solver "discrete"
- Harmonischer Oszillator als lineares diskretes System:
  - betrachten nur den Fall  $u = 0$
  - Umschreiben der DGL auf 2d-System 1. Ordnung

$$\mathbf{x} = \begin{pmatrix} x \\ v \end{pmatrix}$$

$$\dot{\mathbf{x}} = \begin{pmatrix} v \\ -\omega_0^2 x \end{pmatrix} = \begin{pmatrix} 0 & 1 \\ -\omega_0^2 & 0 \end{pmatrix} \begin{pmatrix} x \\ v \end{pmatrix}$$

$$= \begin{pmatrix} 0 & 1 \\ -\omega_0^2 & 0 \end{pmatrix} \mathbf{x}$$

$$=: \mathbf{F}\mathbf{x}$$

- Lösung der DGL bei gegebenem Anfangsvektor  $\mathbf{x}_0$

$$\mathbf{x}(t) = \mathbf{A}\mathbf{x}_0$$

mit

$$\mathbf{A} = e^{\mathbf{F}t} = \begin{pmatrix} \cos \omega_0 t & \frac{1}{\omega_0} \sin \omega_0 t \\ -\omega_0 \sin \omega_0 t & \cos \omega_0 t \end{pmatrix}$$

- Werte nur in Zeitabständen  $\Delta t$

$$\mathbf{x}_k := \mathbf{x}(k\Delta t)$$

- kann direkt als lineares diskretes System geschrieben werden

$$\mathbf{x}_{k+1} = \mathbf{A}\mathbf{x}_k$$

- Beispielwerte

$$\omega_0 = 1, \Delta t = 0.1 \quad \Rightarrow \quad \mathbf{A} = \begin{pmatrix} 0.9950 & 0.0998 \\ -0.0998 & 0.9950 \end{pmatrix}$$



# Kalman-Filter

- Prinzip des Kalman-Filters:

- macht Vorhersage für nächsten Zustandswert  $x_{k+1}$  und Genauigkeit  $P_{k+1}$  (Kovarianzmatrix  $P$  des Filters)
- geht von linearem diskreten Modell aus

$$\begin{aligned} x_k &= Ax_{k-1} + Bu_{k-1} + w_{k-1}, & w_k &\in \mathcal{N}(0, Q) \\ z_k &= Hx_k + v_k, & v_k &\in \mathcal{N}(0, R) \end{aligned}$$

- bekommt außerdem Messwerte  $z_k$
- 1. Schritt: Vorhersage aufgrund des Modells (Prädiktor)

$$\begin{aligned} x_k^- &= Ax_{k-1} + Bu_{k-1} \\ P_k^- &= AP_{k-1}A^T + Q \end{aligned}$$

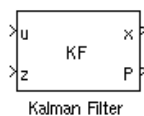
- 2. Schritt: Korrektur aufgrund des Messwerts (Korrektor)

$$\begin{aligned} K_k &= P_k^- H^T (HP_k^- H^T + R)^{-1} \\ x_k &= x_k^- + K_k (z_k - Hx_k^-) \\ P_k &= (1 - K_k H) P_k^- \end{aligned}$$

- Schätzwerte für die Anfangswerte  $x_0$  und  $P_0$  müssen vorgegeben werden
- Kalmanfilter mathematisch definiert durch
  - erwartungstreu (reproduziert Erwartungswerte)
  - Erwartungswert der quadratischen Abweichung zwischen Schätz- und wahren Wert minimal
- Formeln sind plausibel:
  - $R$  groß  $\rightarrow K$  klein  $\rightarrow x_k = x_k^-$  (Modell gibt Ausschlag)
  - $R = 0 \rightarrow K = H^{-1} \rightarrow x_k = H^{-1} z_k$  (Messwert gibt Ausschlag)

- Simulink-Modell des Kalman-Filters:

- Subblock



- Parameter

Parameters

system matrix A

control matrix B

observation matrix H

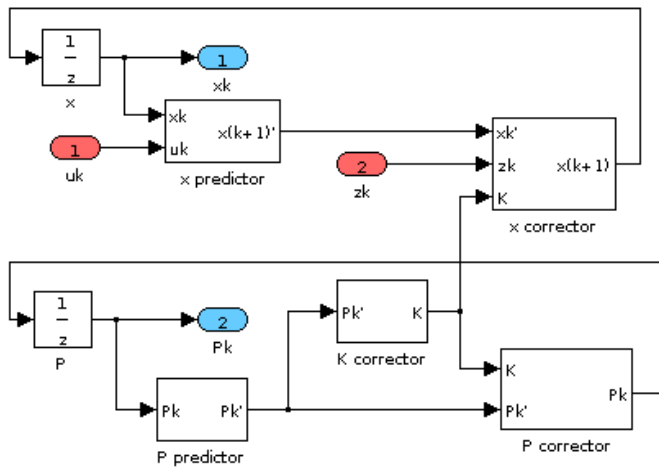
variance of system noise Q

variance of measurement noise R

estimated initial value x0

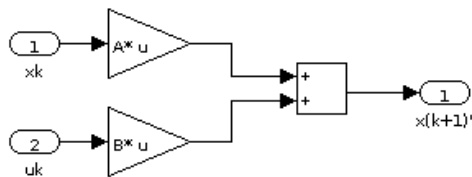
estimated initial filter variance P0

o Aufbau

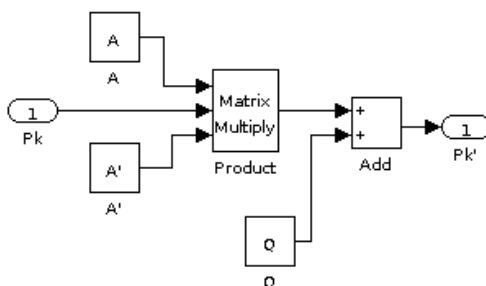


o 5 Unterblöcke implementieren die Formeln

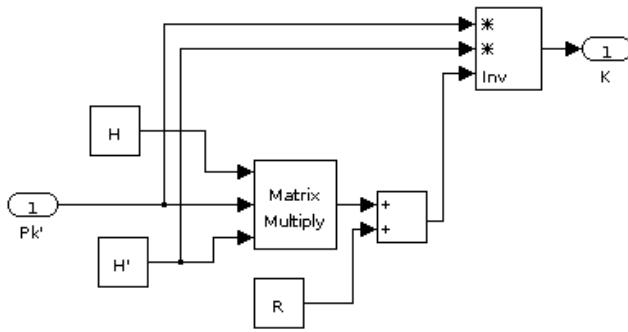
■ x predictor



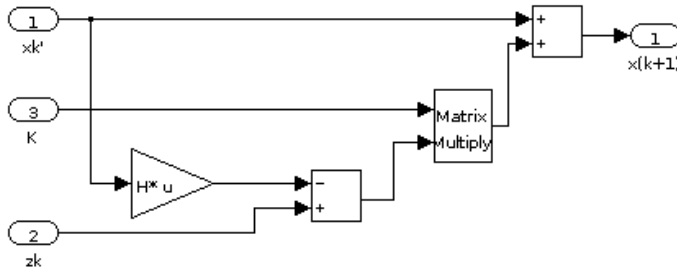
■ P predictor



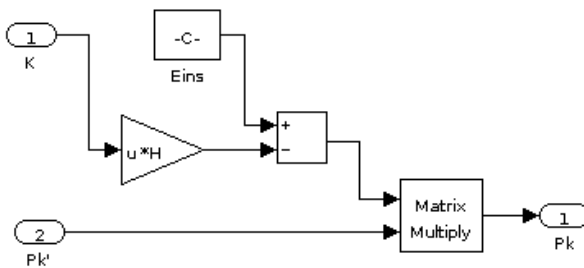
■ K corrector



■ x corrector



■ P corrector

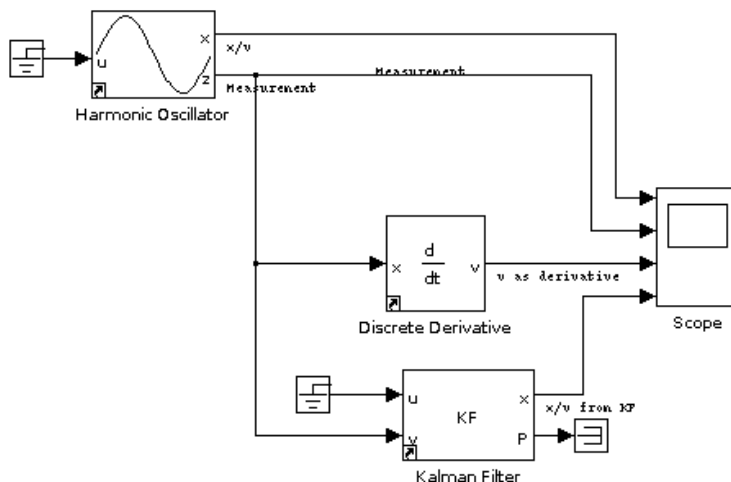


○ Achtung:

- 1 in Formel für  $P_k$  ist die Einheitsmatrix
- im Simulink in einer Konstanten mit Constant Value `eye(size(P0))`

● Startbeispiel, 2. Durchgang:

○ Aufbau klar



- Modell ist harmonischer Oszillator in diskreter Version
- Kalmanfilter hat die entsprechenden Systemparameter

Parameters

system matrix A

control matrix B

observation matrix H

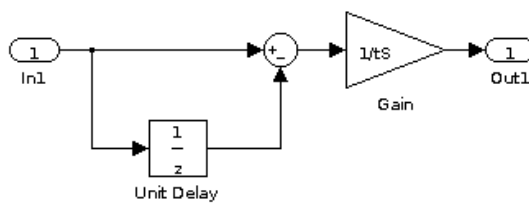
variance of system noise Q

variance of measurement noise R

estimated initial value x0

estimated initial filter variance P0

der Vollständigkeit halber die diskrete Ableitung



# Anwendung: Grundideen der Trägheitsnavigation

Auswertung von Messwerten

Simulation des Flugs

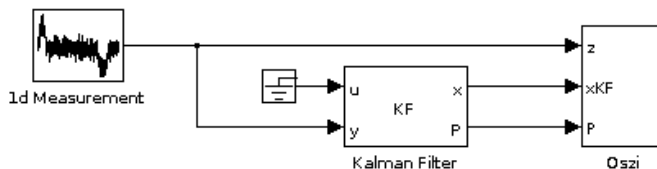
Integration von Ortsmessungen

# Auswertung von Messwerten

- Grundprinzip:
  - Bestimmung der Position eines Körper aus Messung der Beschleunigung
  - Grundidee einfach: Beschleunigung zweimal integrieren
  - Problem:
    - Messfehler (Rauschen) addieren sich auf
    - → zu  $v$  kommt eine Random-Walk-Komponente hinzu
    - → Abweichung steigt mit der Zeit an
  - Lösung
    - gelegentliche Orts-Messungen einbauen

- Simulink-Modell:

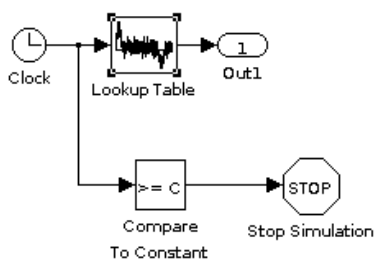
- Modell [ins1.mdl](#)



- 1d Measurement liefert experimentell bestimmte Messwerte für  $a$
- Kalman-Filter bereitet die Daten auf und bestimmt  $v$  und  $x$
- Osci zeigt an
  - Messwerte
  - Filterdaten
  - Entwicklung der Filter-Kovarianz
- Achtung:
  - Stop Time steht auf Inf ("unendlich")

- Mess-Modell:

- Parameter
  - Vektor mit Messwerten
  - Sample-Zeit
- Aufbau



- Block Lookup Table

- liefert Messwerte als Zeitreihe
- interpoliert ggf. (hier nicht, da nur Sample-Werte)
- Parameter

Lookup

Perform 1-D linear interpolation of input values using the specified table.  
Extrapolation is performed outside the table boundaries.

---

Main    **Signal Attributes**

Vector of input values:     Edit..

Table data:

Lookup method:  ▼

Sample time (-1 for inherited):

- Compare To Constant
  - gibt true (bzw. 1) aus, wenn Input  $\geq$  Konstante
  - Wert der Konstanten über Maske, hier  $\text{size}(z, 2) * tS$
- Stop Simulation
  - beendet Simulation, wenn Eingang  $\neq 0$
- Mathematischer Einschub: Diskretisierung incl. Systemrauschen
  - Ausgangspunkt sei ein lineares kontinuierliches System
 
$$\dot{\mathbf{x}} = \mathbf{F}\mathbf{x} + \mathbf{G}\mathbf{w}$$
    - $w(t)$  = Gaußsches weißes Rauschen mit Mittelwert 0 und Kovarianz 1
    - $F, G$  konstante Matrizen
  - Sampeln der  $x$ -Werte in festen Intervallen  $\Delta t$  liefert ein lineares diskretes System
    - mit Systemmatrix
 
$$\mathbf{A} = e^{\mathbf{F}\Delta t}$$
    - und Kovarianzmatrix
 
$$\mathbf{Q} = \int_0^{\Delta t} dt' e^{\mathbf{F}(\Delta t - t')} \mathbf{G}\mathbf{G}^T [e^{\mathbf{F}(\Delta t - t')}]^T$$
- Kinematisches Modell:
  - unbekannte Kräfte werden durch Zufallspfad (Random Walk)  $\sigma(t)$  modelliert
 
$$\mathbf{a} = \ddot{\mathbf{x}} = \mathbf{q}\sigma(t)$$
  - Ableitung von  $\sigma(t)$  ist weißes Rauschen, daher
 
$$\dot{\mathbf{a}} = \mathbf{q}\mathbf{w}(t)$$
  - als System

$$\mathbf{x} = \begin{pmatrix} x \\ v \\ a \end{pmatrix}$$

$$\dot{\mathbf{x}} = \begin{pmatrix} v \\ a \\ qw(t) \end{pmatrix}$$

$$= \begin{pmatrix} 0 & 1 & 0 \\ 0 & 0 & 1 \\ 0 & 0 & 0 \end{pmatrix} \begin{pmatrix} x \\ v \\ a \end{pmatrix} + \begin{pmatrix} 0 \\ 0 \\ q \end{pmatrix} w(t)$$

$$=: \mathbf{F}\mathbf{x} + \mathbf{G}w$$

- Diskretisierung liefert die Systemmatrizen

$$A = \begin{pmatrix} 1 & \Delta t & \frac{1}{2}\Delta t^2 \\ 0 & 1 & \Delta t \\ 0 & 0 & 1 \end{pmatrix}$$

$$Q = \begin{pmatrix} \frac{1}{20}\Delta t^5 & \frac{1}{8}\Delta t^4 & \frac{1}{6}\Delta t^3 \\ \frac{1}{8}\Delta t^4 & \frac{1}{3}\Delta t^3 & \frac{1}{2}\Delta t^2 \\ \frac{1}{6}\Delta t^3 & \frac{1}{2}\Delta t^2 & \Delta t \end{pmatrix}$$

- Kalman-Filter verwendet kinematisches Modell für  $\Delta t = 1$

Parameters

system matrix A

control matrix B

observation matrix H

variance of system noise Q

variance of measurement noise R

estimated initial value x0

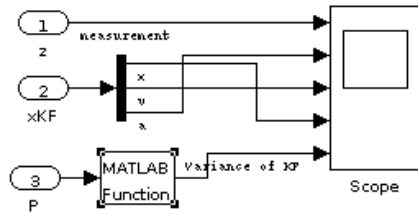
estimated initial filter variance P0

- Varianz der Stör-Beschleunigung 0.001
- ungenauere Messung von a mit Varianz 0.003

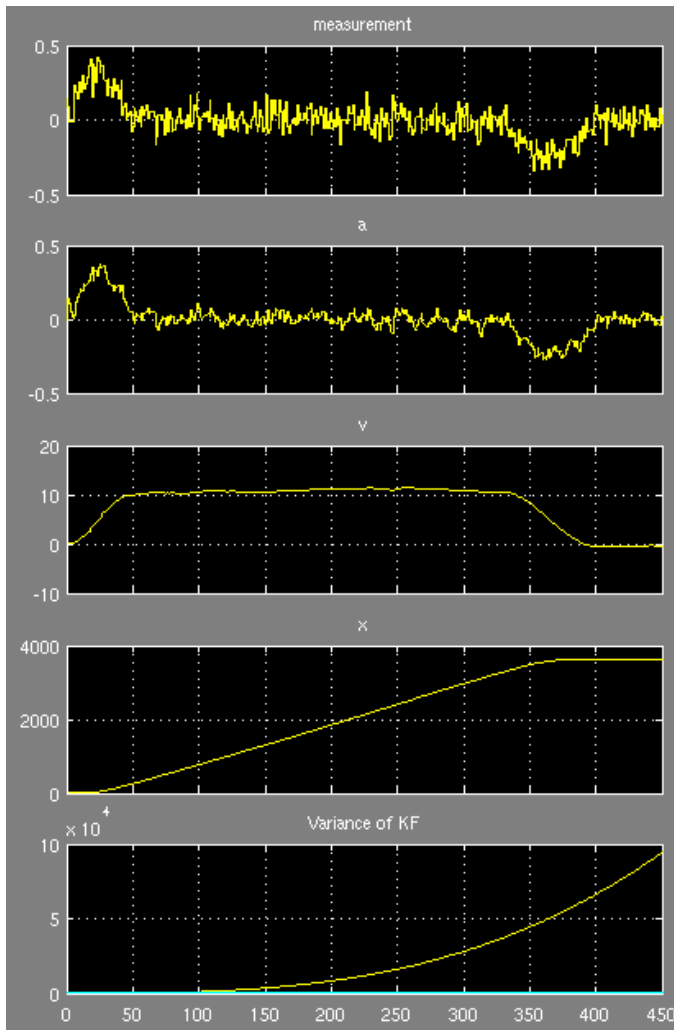
- Ergebnisse der Simulation:

- Oszi-Aufbau





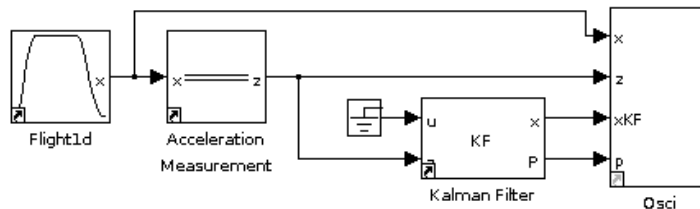
- zeigt Messwerte,  $a/v/x$  vom Filter, Filter-Varianz  $P$
- von Matrix  $P$  werden mit  $\text{diag}(P)$  nur die Diagonalelemente angezeigt
- Oszi-Bild



- Interpretation
  - am Anfang Beschleunigung, am Ende Abbremsen, sonst konstante Geschwindigkeit
  - $a$  wird vom Filter leicht geglättet
  - Varianz von  $x$  steigt stark an (wie zu erwarten war)
- kein Vergleich mit realen Werten möglich, da nicht vorhanden

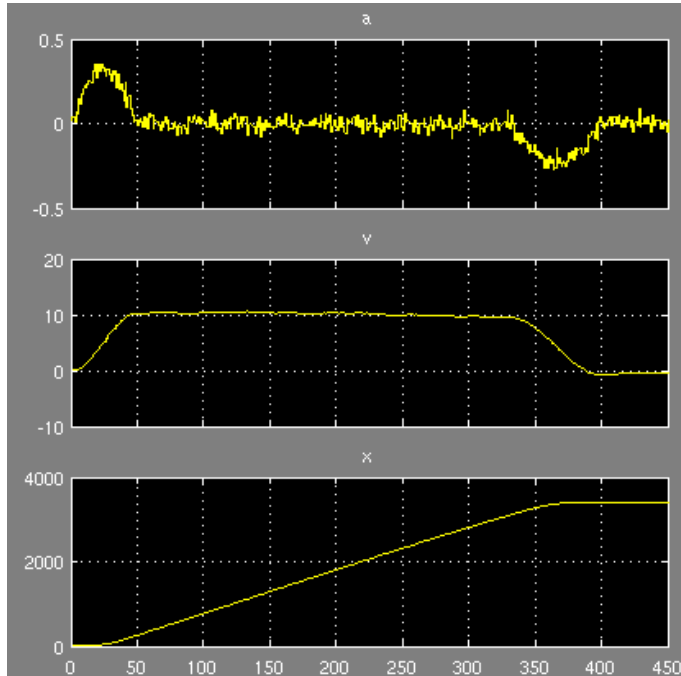
# Simulation des Flugs

- Erweiterung um Flug-Modell:
  - Modell eines Geradeausflugs mit Start- und Landungsphase
    - erzeugt Messwerte wie in ins1
    - erlaubt Vergleich von Modell- und Filterwerten
  - Simulink-Modell [ins2.mdl](#)



- gleiche Konfiguration des Kalman-Filters

- Flug-Modell:
  - liefert  $x/v/a$  mit
    - Startphase (Beschleunigung in vorgegebener Zeit auf Fluggeschwindigkeit)
    - Flugphase (konstantes  $v$ )
    - Landephase (Abbremsen in vorgegebener Zeit auf  $v = 0$ )
  - Beschleunigung enthält Systemrauschen

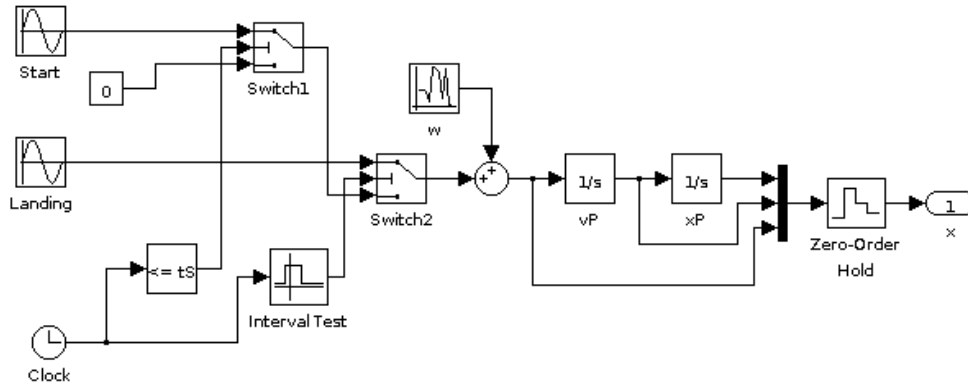


- aufgrund der  $a$ -Schwankungen landet  $v$  nicht genau bei 0
- Parameter

Bezeichnung	Variable
duration of start	tS
duration of cruise	tF
duration of landing	tL

cruise velocity	v0
variance of acceleration	q
sample time	dt
initial seed	seed

o Aufbau



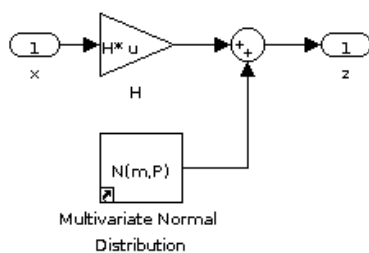
- Start- und Landephase werden als positive bzw. negative Sinus-Halbwellen modelliert
- Switch1 schaltet die Startphase durch für  $t \leq tS$ , sonst ist  $a = 0$
- während der Landephase ( $tS+tF \leq t \leq tS+tF+tL$ ) schaltet Switch2 auf die Landing-Halbwellen

o besondere Details

- bei Compare und Interval Test sollte Output data type mode auf boolean
- Parameter von Start
  - Amplitude  $v0 \cdot \pi / (2 \cdot tS)$
  - Frequency  $\pi / tS$
- Parameter von Landing
  - Amplitude  $-v0 \cdot \pi / (2 \cdot tL)$
  - Frequency  $\pi / tL$
  - Phase  $-\pi \cdot (tS+tF) / tL$

• Mess-Modell:

- o allgemeines lineares Messmodell als eigener Block

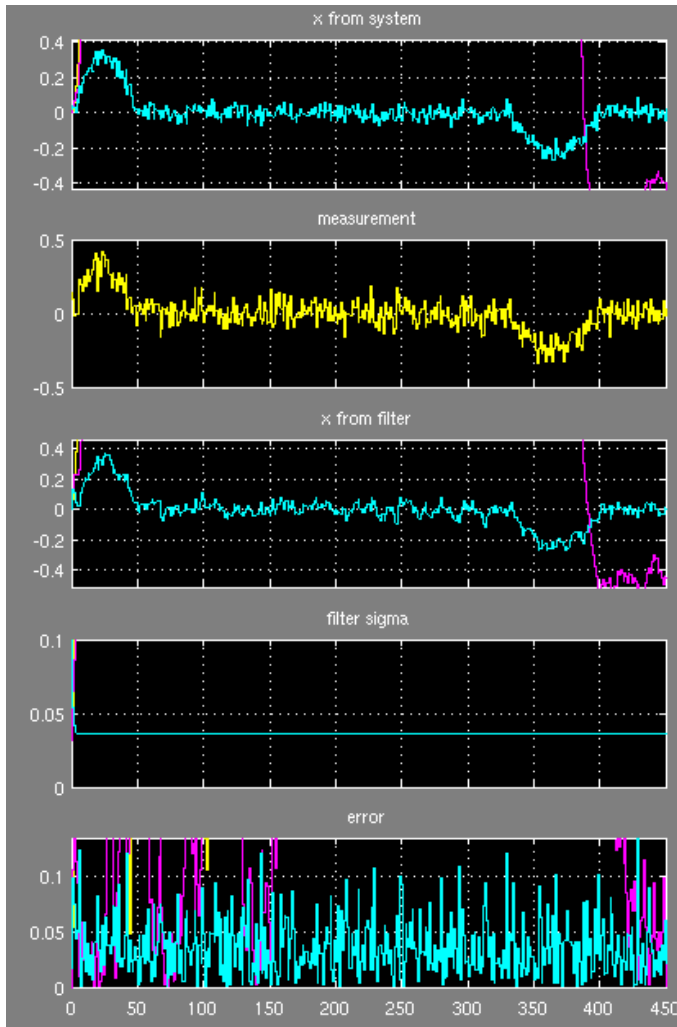


o Parameter

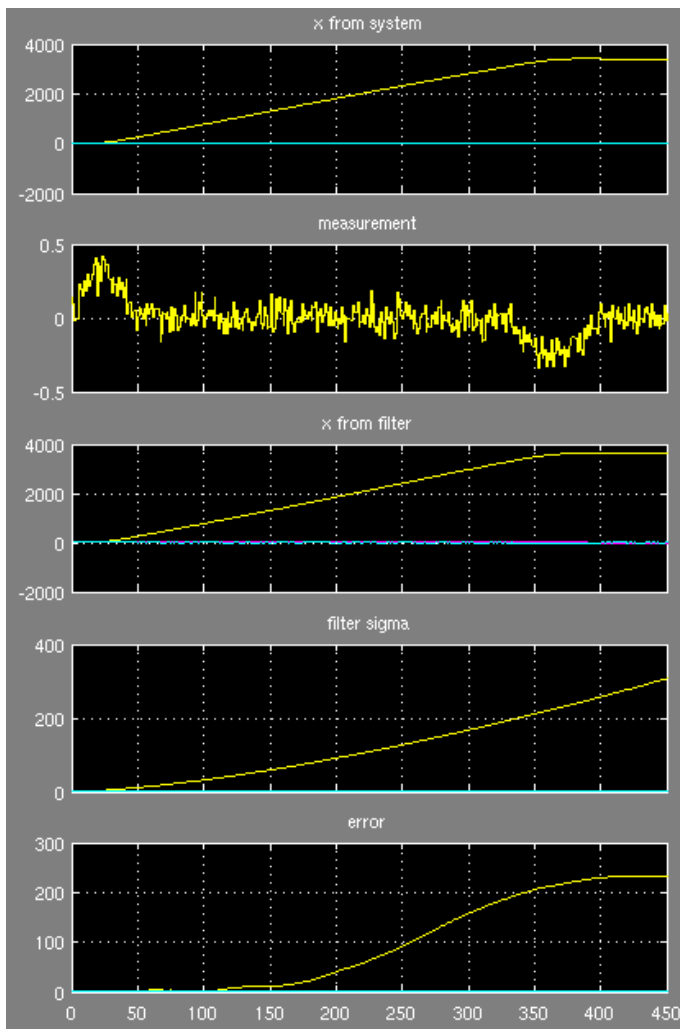
Bezeichnung	Variable
observation matrix	H
variance of measurement	R

sample time	dt
initial seed	seed

- hier  $H = [0 \ 0 \ 1]$  → nur  $a$  wird gemessen
- Ergebnisse der Simulation:
  - Beschleunigung



- $a$  vom System und  $a$  vom Filter nahezu identisch
  - Fehler in der Größenordnung der Filtervarianz
- Ort



- Abweichung von  $x$  wächst kontinuierlich an
- Filtervarianz steigt entsprechend
- klar: Messmethode liefert prinzipiell keine besseren Werte

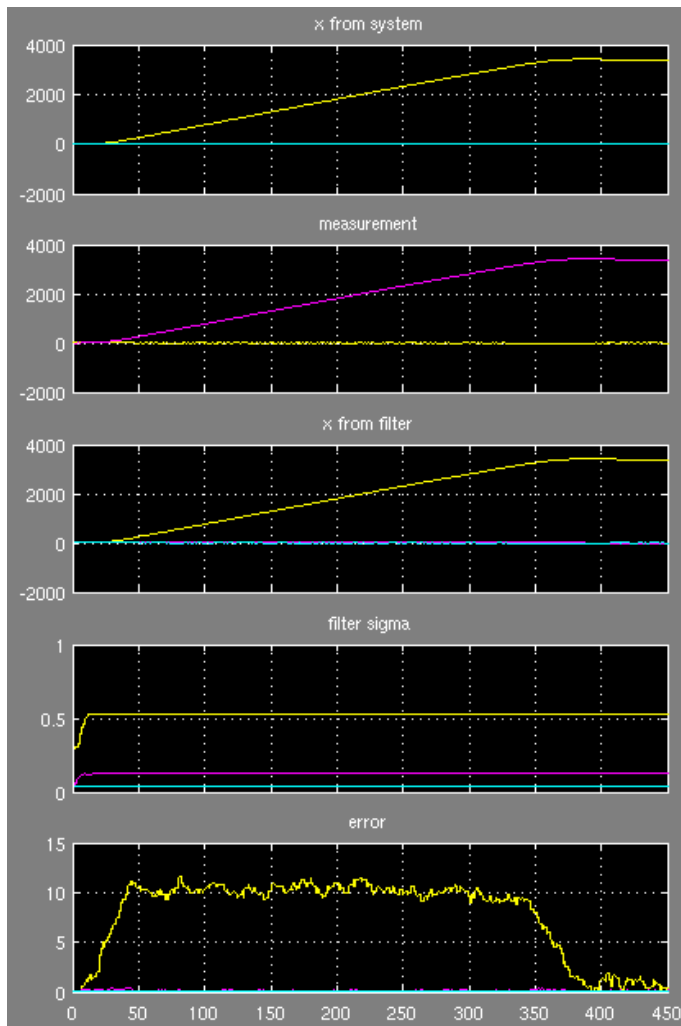
# Integration von Ortsmessungen

- Ständige Ortsmessung:

- Modell [ins3.mdl](#)

- wie ins2.mdl, aber andere Parameter (in Messung und Filter!)
    - $H = [0 \ 0 \ 1; \ 1 \ 0 \ 0]$
    - $R = [0.003, \ 0; \ 0, \ 1]$
    - zusätzlich wird auch  $x$  gemessen, allerdings mit niedriger Genauigkeit

- Ergebnis



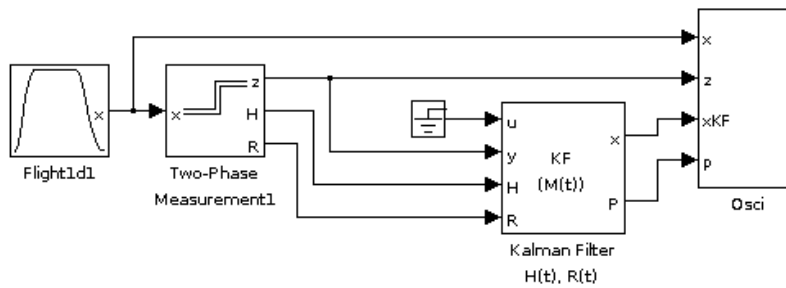
- Fehler bleibt beschränkt, aber relativ groß

- höhere Genauigkeit der  $x$ -Messung

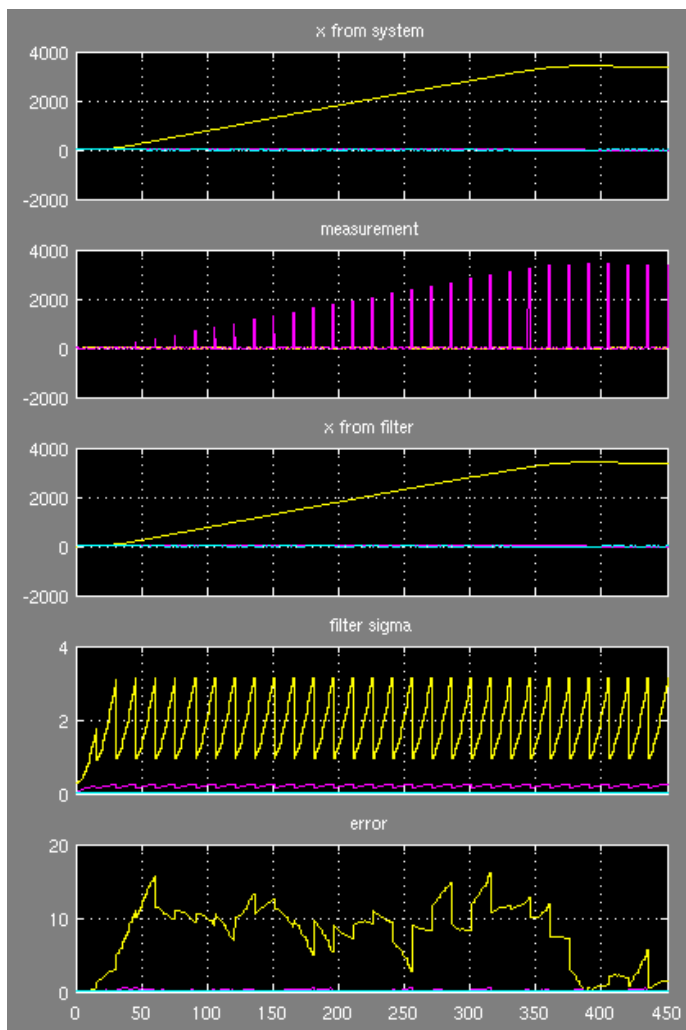
- → keine wesentliche Verbesserung
    - vermutete Ursache: internes Zufallspfad-Modell kann der schnellen Änderung von  $a$  nicht folgen

- Seltene Ortsmessungen:

- Modell [ins4.mdl](#)



- Mess-Block liefert verschiedene Arten von Messungen
  - jedes n-te Mal (n einstellbar) a und x mit entsprechendem R
  - sonst nur a
- Kalman-Filter braucht sich änderndes (zeitabhängiges) H und R
- Ergebnis bei x-Messung bei jedem 15. Schritt



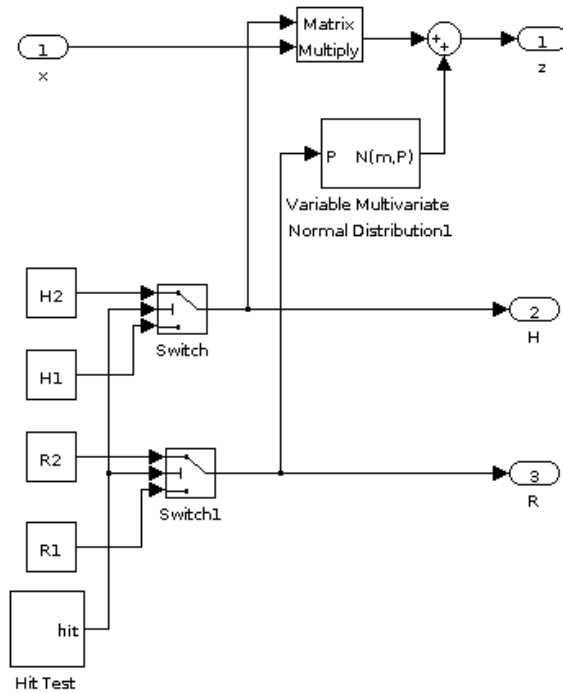
- Fehler bleibt in der Größenordnung des vorigen Modells

- Zwei-Phasen-Messblock:
  - hat zwei verschiedene Messmethoden (jeweils mit H und R)
    - verwendet normalerweise H1, aber jedes n-te Mal H2
  - Parameter

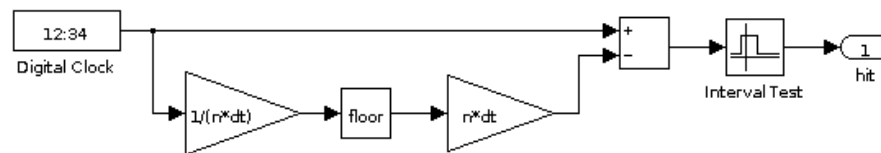
Bezeichnung	Variable
observation matrix H1	H1

observation matrix H2	H2
variance of measurement R1	R1
variance of measurement R2	R2
decimation factor n of measurement 2	n
sample time	dt
initial seed	seed

- o Aufbau



- o Hit Test schaltet jedes n-te Mal durch

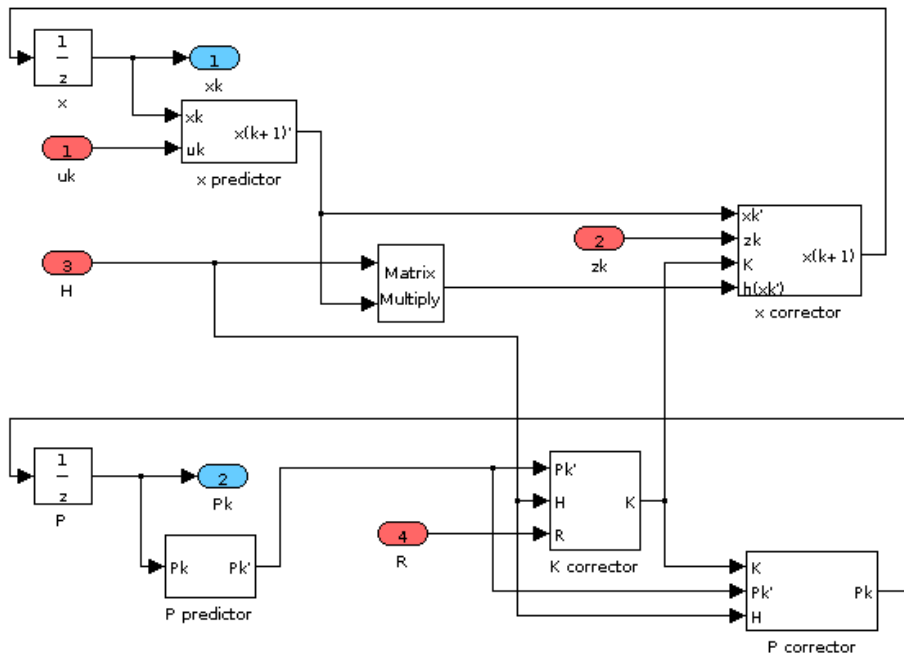


- Interval Test statt Test auf 0 wegen möglichen Rundungsfehlern

- Kalman-Filter mit zeitabhängiger Messung:

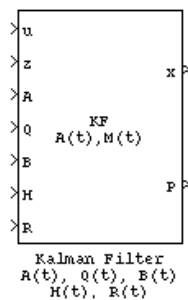
- o H und R nicht fest über Parameter, sondern variabel über Eingänge
  - o Aufbau





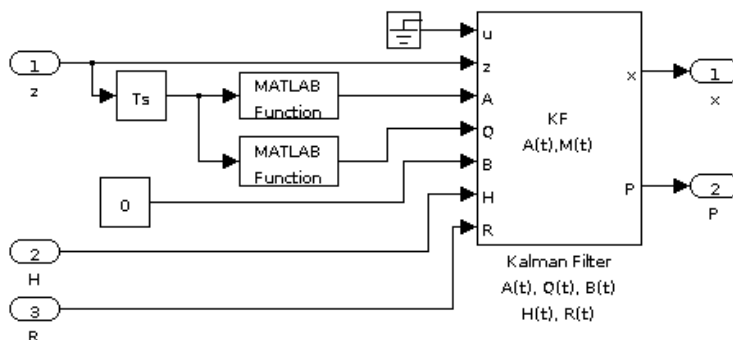
- setzt Formeln in direkter Weise um

- Erweiterung auf beliebige Sample-Zeiten:
  - Änderung von  $dt \rightarrow A$  und  $Q$  ändern sich
  - daher bei Kalman-Filter auch  $A$  und  $Q$  als Eingänge



- nur noch  $x_0$  und  $P_0$  als Parameter
- Implementierung wie üblich

- daraus spezielles Kalmanfilter für kinematisches Modell



- Block  $T_s$  bestimmt Sample Time der Messung
- Matlab-Funktion für  $A$

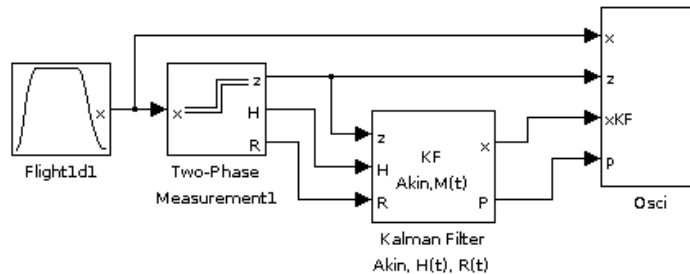
$$[1, u, 0.5*u^2; 0, 1, u; 0, 0, 1]$$

- Matlab-Funktion für Q

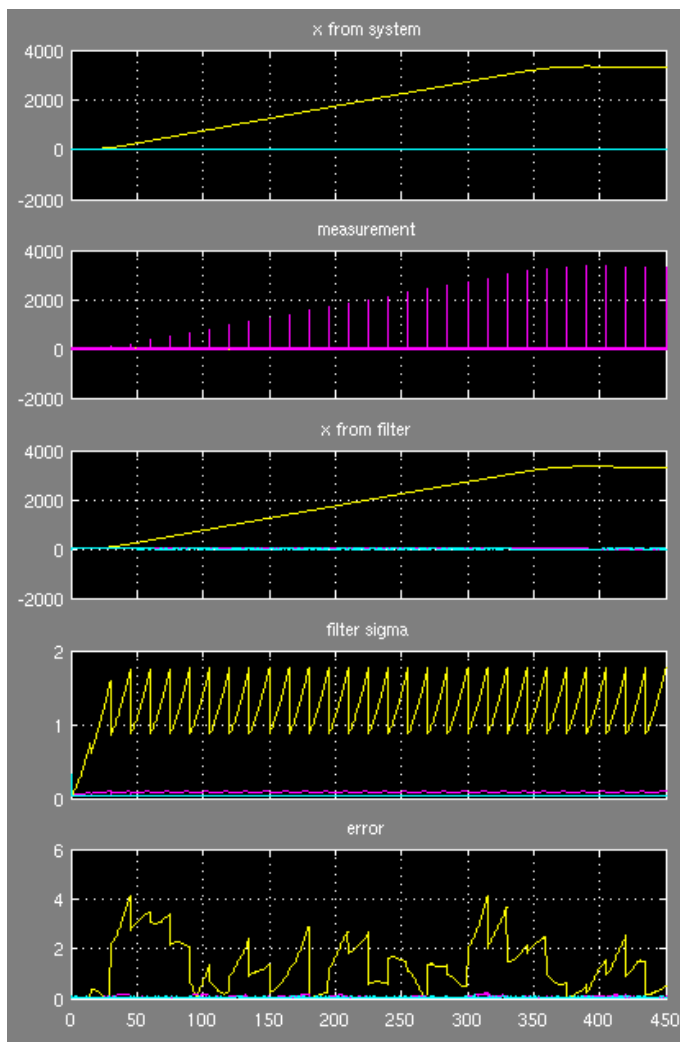
```
[0.050*u^5, 0.125*u^4, 0.167*u^3; ...
0.125*u^4, 0.333*u^3, 0.500*u^2; ...
0.167*u^3, 0.500*u^2, 1.000*u]*q
```

- mit Parameter q für Kovarianz des kontinuierlichen Systems

- Gesamtmodell [ins5.mdl](#)



- Lauf mit Sample Time = 0.1 (bei Flight1d und Measurement!) und Dezimierung um n = 150 der Ortsmessung



- Ergebnis

- Zahl und Genauigkeit der Ortsmessungen wie vorher
- aber Fehler hat stark abgenommen
- also Vermutung bestätigt: genauere Beschleunigungsmessungen nötig für einfaches Zufallspfad-Modell

# Kalman-Filter für nichtlineare Systeme

- Erweiterung der Modelle:
  - 2d-Flug
  - 2d-Abstandsmessungen zu vorgegebenen Bezugspunkten
  - Problem: Messwertbestimmung ist nichtlinear
  - Erweiterung des Kalman-Filters nötig (Extended Kalman Filter)
- Flugmodell:
  - analog zu Flight1D, aber mit 2d-Start- und Landekoordinaten
  - Zustandsvektor 6-dimensional ( $x, y, v_x, v_y, a_x, a_y$ )
  - Parameter

The image shows a 'Parameters' dialog box with the following fields and values:

Parameter	Value
start point	[50;4000]
landing point	[4500;50]
duration of start	50
duration of landing	70
cruise velocity	10
variance of acceleration	0.001
sample time	1
initial seed	17

- einige Hilfsrechnungen der Einfachheit halber in der Maske

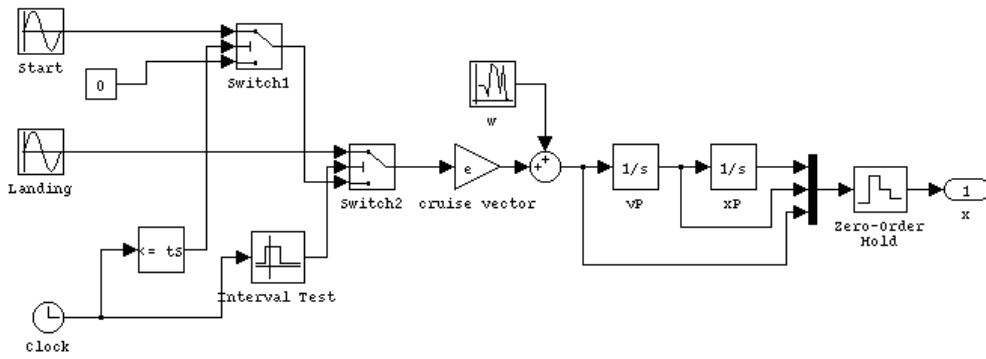
The image shows a software interface with two main sections:

- Dialog variables:** A list of variables including xS, xL, tS, tL, v0, q, dt, seed, s, tF, and e.
- Initialization commands:** A code block containing the following MATLAB-style code:

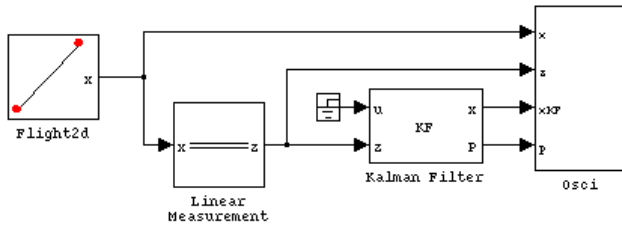
```
s = norm(xL - xS);  
tF = (s - v0/2*(tS + tL))/v0;  
e = (xL - xS)/s;
```

At the bottom, there is a checkbox labeled 'Allow library block to modify its contents' which is currently unchecked.

- Aufbau



- Einfaches Testsystem:
  - Modell `flug2d1.mdl`



- Messung der beiden Beschleunigungskomponenten
 
$$H = [0 \ 0 \ 0 \ 0 \ 1 \ 0; \ 0 \ 0 \ 0 \ 0 \ 0 \ 1]$$
- System-Matrizen
  - kinematisches System wie oben, mit  $dt = 1$
  - aber alle Größen jetzt selbst zweidimensional

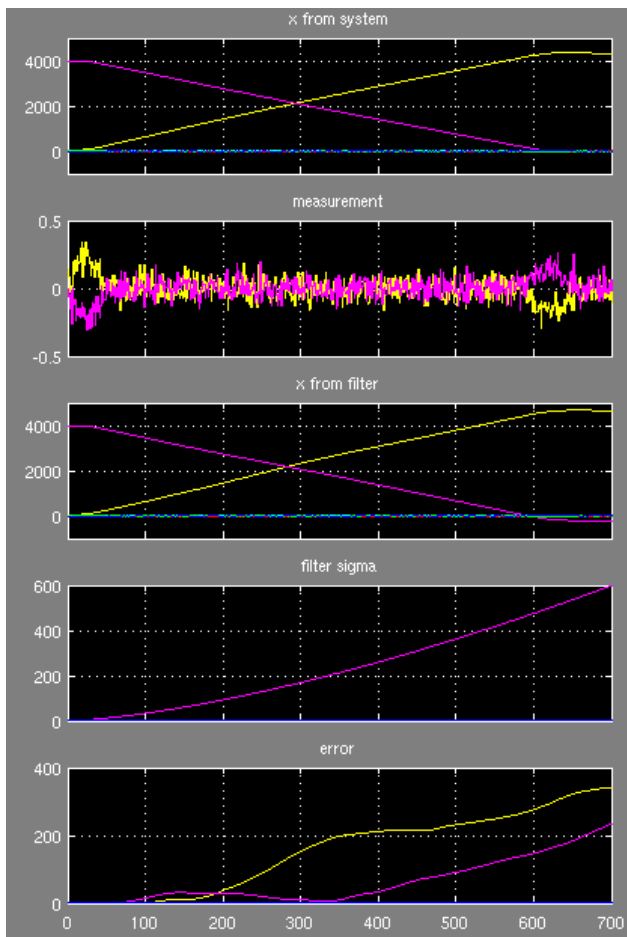
$$A = \begin{pmatrix} 1 & 0 & 1 & 0 & \frac{1}{2} & 0 \\ 0 & 1 & 0 & 1 & 0 & \frac{1}{2} \\ 0 & 0 & 1 & 0 & 1 & 0 \\ 0 & 0 & 0 & 1 & 0 & 1 \\ 0 & 0 & 0 & 0 & 1 & 0 \\ 0 & 0 & 0 & 0 & 0 & 1 \end{pmatrix} = \begin{pmatrix} 1 & 1 & \frac{1}{2} \\ 0 & 1 & 1 \\ 0 & 0 & 1 \end{pmatrix} \otimes \begin{pmatrix} 1 & 0 \\ 0 & 1 \end{pmatrix}$$

- in Matlab
 

```
kron([1, 1, 0.5; 0, 1, 1; 0, 0, 1], [1, 0; 0, 1])
```

- analog
 
$$Q = \begin{pmatrix} \frac{1}{20} & \frac{1}{8} & \frac{1}{6} \\ \frac{1}{8} & \frac{1}{2} & \frac{1}{2} \\ \frac{1}{6} & \frac{1}{2} & 1 \end{pmatrix} \otimes \begin{pmatrix} 1 & 0 \\ 0 & 1 \end{pmatrix}$$

- Ergebnis



- Abweichung ähnlich wie im 1d-Fall

- Extended Kalman Filter:

- Kalman-Filter kann für nichtlineares System erweitert werden
- hier nur Spezialfall nichtlinearer Messung
- Systemgleichungen

$$x_k = Ax_{k-1} + Bu_{k-1} + w_{k-1}, \quad w_k \in \mathcal{N}(0, Q)$$

$$z_k = h(x_k) + v_k, \quad v_k \in \mathcal{N}(0, R)$$

- Filter-Gleichungen

- Prädiktor

$$\hat{x}_k^- = A\hat{x}_{k-1} + Bu_{k-1}$$

$$P_k^- = AP_{k-1}A^T + Q$$

- Korrektor

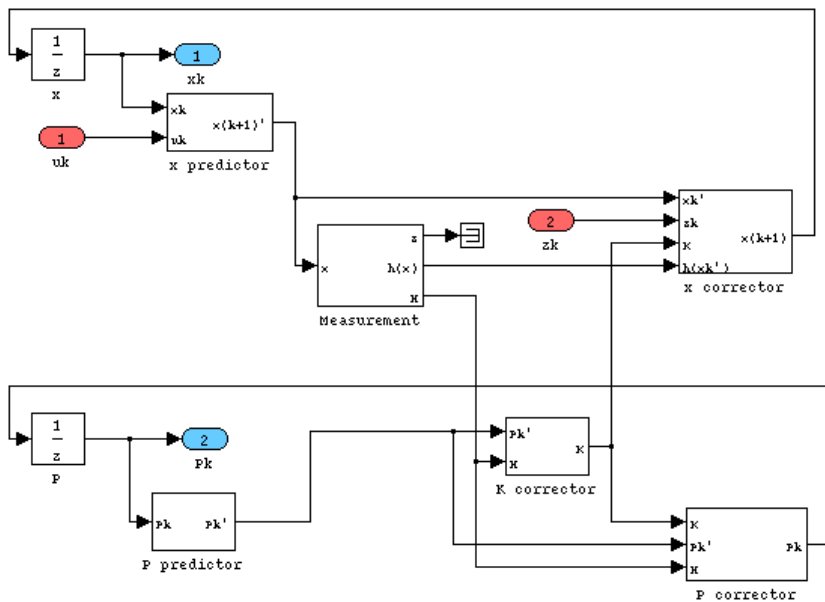
$$H_k = \frac{\partial h}{\partial x}(\hat{x}_k^-)$$

$$K_k = P_k^- H_k^T (H_k P_k^- H_k^T + R)^{-1}$$

$$\hat{x}_k = \hat{x}_k^- + K_k(z_k - h(\hat{x}_k^-))$$

$$P_k = (1 - K_k H_k) P_k^-$$

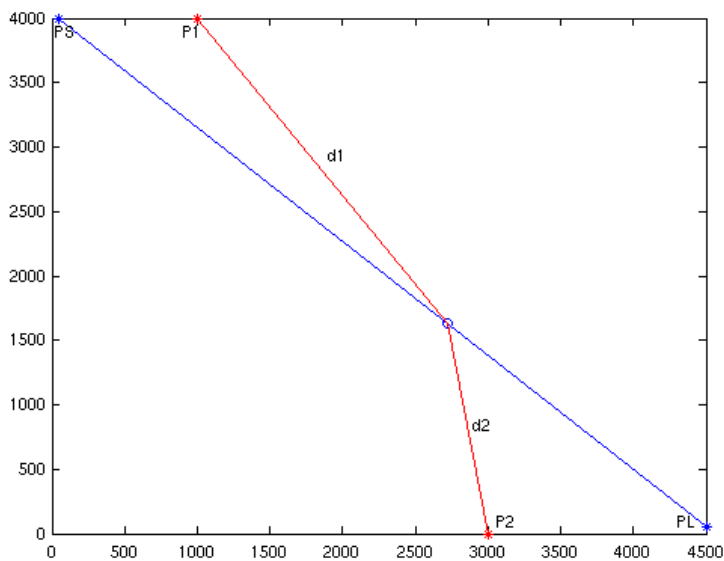
- als Simulink-Modell



- Block Measurement muss für spezielle Messung angepasst werden

- Messmodell:

- zusätzlich zu Beschleunigungen werden Abstände zu zwei vorgegebenen Punkten P1, P2 bestimmt



- leicht berechnet als

$$h_1 = \sqrt{(x - x_1)^2 + (y - y_1)^2}$$

$$h_2 = \sqrt{(x - x_2)^2 + (y - y_2)^2}$$

$$h_3 = a_x$$

$$h_4 = a_y$$

- Jacobi-Matrix der Messung

- mit

$$\frac{\partial h_1}{\partial x} = \frac{x - x_1}{\sqrt{(x - x_1)^2 + (y - y_1)^2}}$$

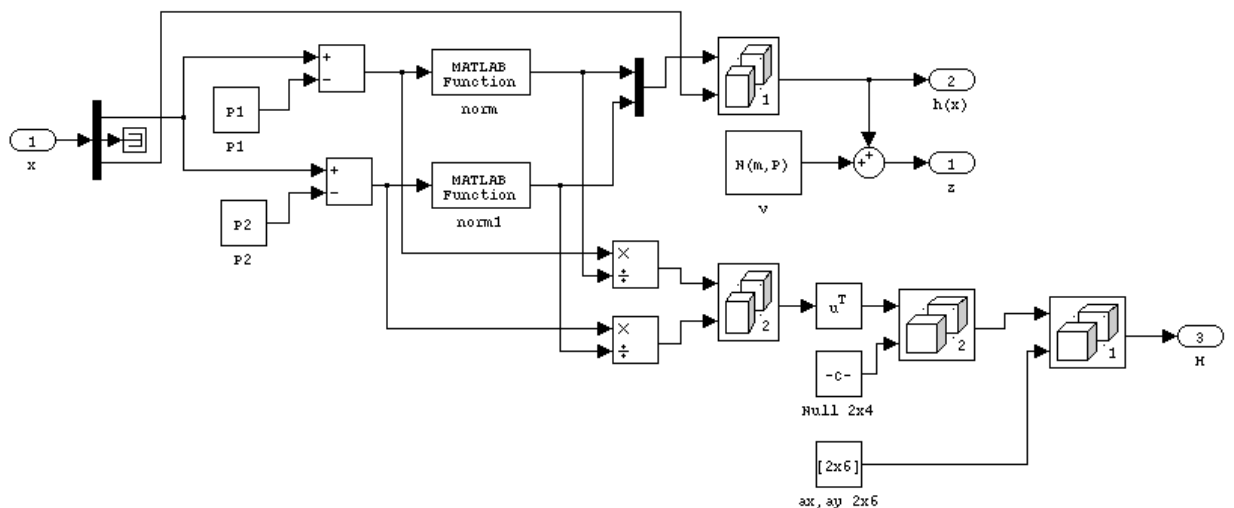
$$\frac{\partial h_1}{\partial y} = \frac{y - y_1}{\sqrt{(x - x_1)^2 + (y - y_1)^2}}$$

$$\frac{\partial h_1}{\partial v_x} = 0 = \frac{\partial h_1}{\partial v_y} = \frac{\partial h_1}{\partial a_x} = \frac{\partial h_1}{\partial a_y}$$

■ erhält man

$$H = \begin{pmatrix} \frac{x - x_1}{\sqrt{(x - x_1)^2 + (y - y_1)^2}} & \frac{y - y_1}{\sqrt{(x - x_1)^2 + (y - y_1)^2}} & 0 & 0 & 0 & 0 \\ \frac{x - x_2}{\sqrt{(x - x_2)^2 + (y - y_2)^2}} & \frac{y - y_2}{\sqrt{(x - x_2)^2 + (y - y_2)^2}} & 0 & 0 & 0 & 0 \\ 0 & 0 & 0 & 0 & 1 & 0 \\ 0 & 0 & 0 & 0 & 0 & 1 \end{pmatrix}$$

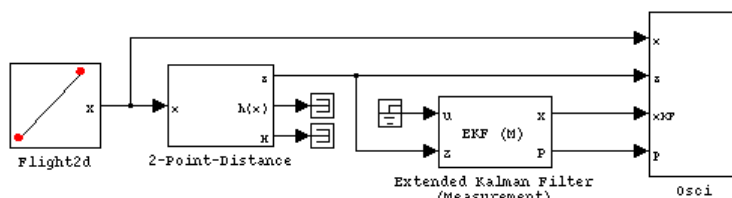
- liefert
  - Messwerte mit Rauschen (z)
  - Messwerte ohne Rauschen (h(x))
  - Jacobi-Matrix H
- Koordinaten der Punkte P1, P2 als Parameter
- Aufbau



■ Zusammenschieben der Teile mit Block Matrix Concatenate

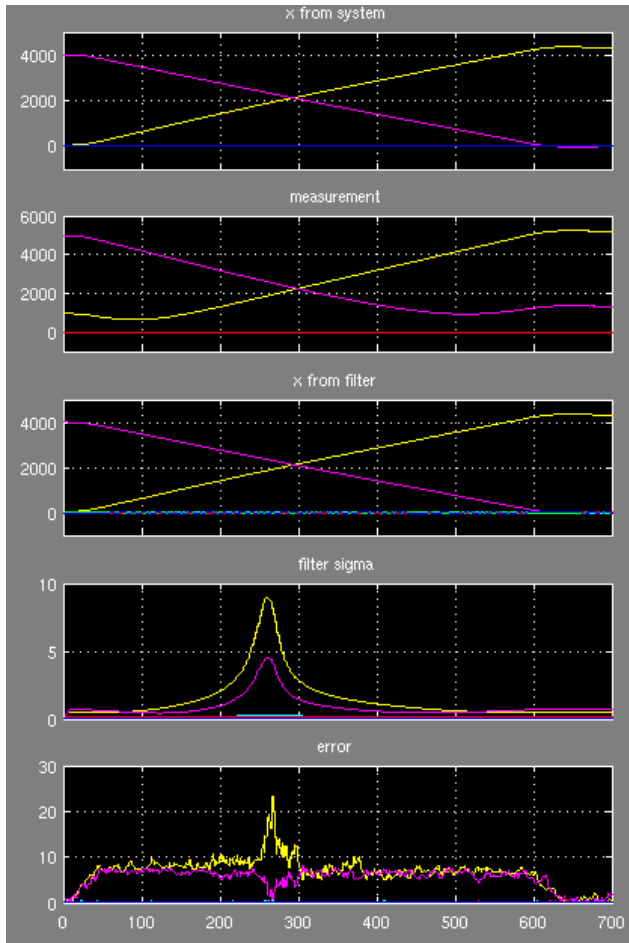
• Gesamtsystem:

- Modell [flug2d.mdl](#)



- Messungsblock 2-Point-Distance steckt auch im Extended Kalman Filter !

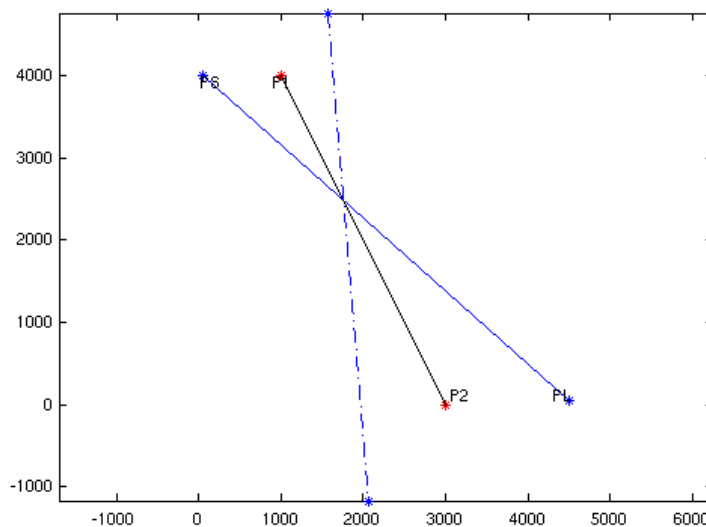
○ Ergebnis



- i.W. wie bei 1d
- seltsame Peaks (hohe Ungenauigkeit) bei  $t = 250$

○ Ursache

- Abstandsmessung liefert grundsätzlich zwei mögliche Orte

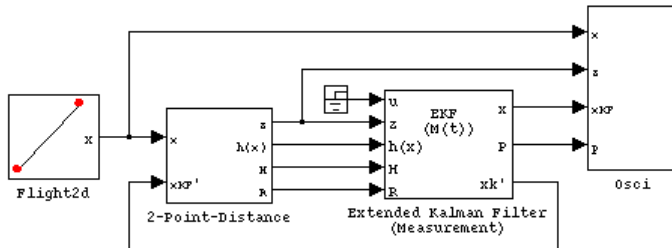


- Anfangswert  $x_0$  legt  $p_S$  fest
- nahe des Schnittpunkts liefern die Abstandsmessungen keine Entscheidung
- ungenaue Beschleunigungsmessung gibt den Ausschlag

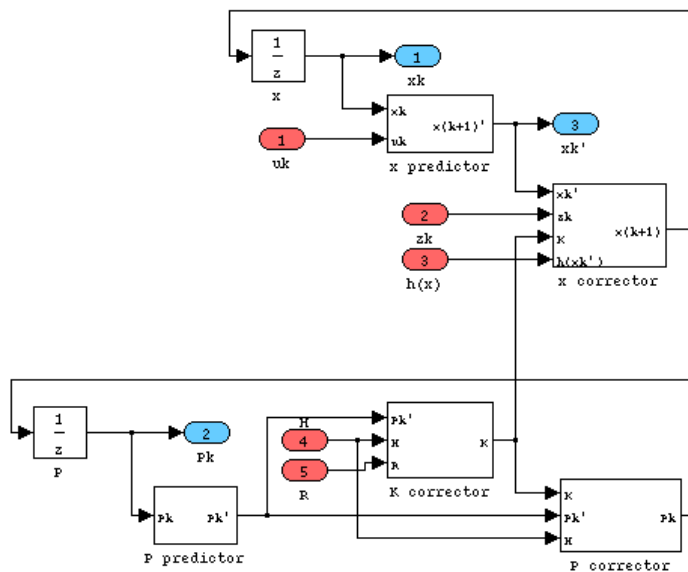


- Erweiterung des Modells:

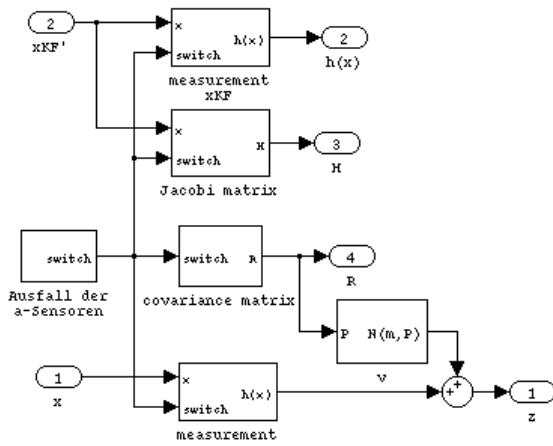
- Simulation eines temporären Ausfalls der Beschleunigungssensoren
  - Parameter für Beginn und Ende des Ausfalls
  - Umschaltung zwischen entsprechenden Messungen
- Verbesserung der Bedienbarkeit
  - bisher zwei identische Messmodelle (eins im Filter)
  - Parameteränderungen immer bei beiden eintragen!
  - stattdessen jetzt nur ein Messmodell
  - liefert Ergebnisse für "reale" Messungen und für interne Filterberechnungen
- Gesamtsystem



- Messung wurde aus dem Filter ausgelagert



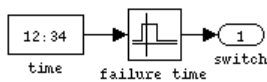
- gibt seinen x-Predictor-Wert nach außen (zum Messblock)
- Verbesserung des Messblocks
  - modularer Aufbau



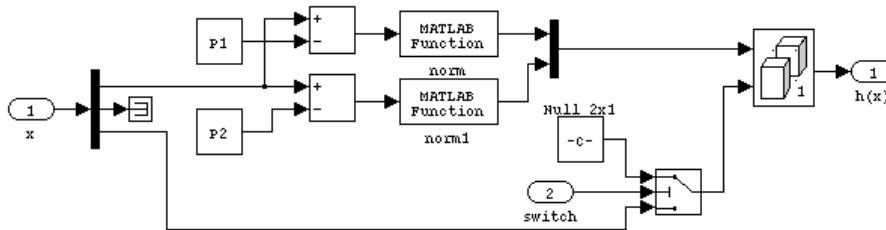
- verbessert deutlich die Übersichtlichkeit und Verständlichkeit

- Unterblöcke

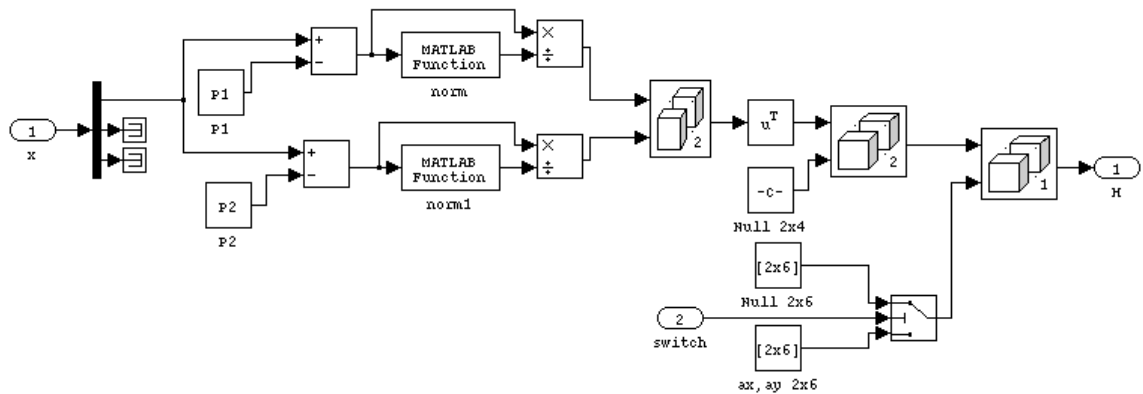
- Umschaltung bei Ausfall der a-Sensoren



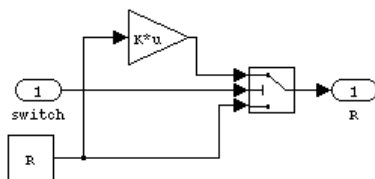
- Berechnung der Messwerte (wird 2x verwendet)



- Berechnung der Jacobi-Matrix

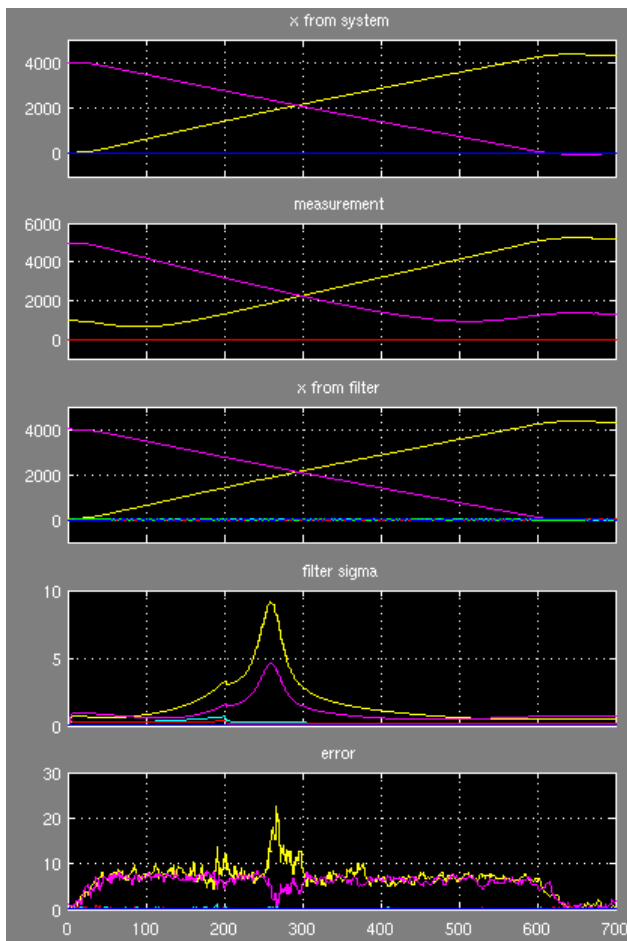


- Berechnung der Kovarianz-Matrix

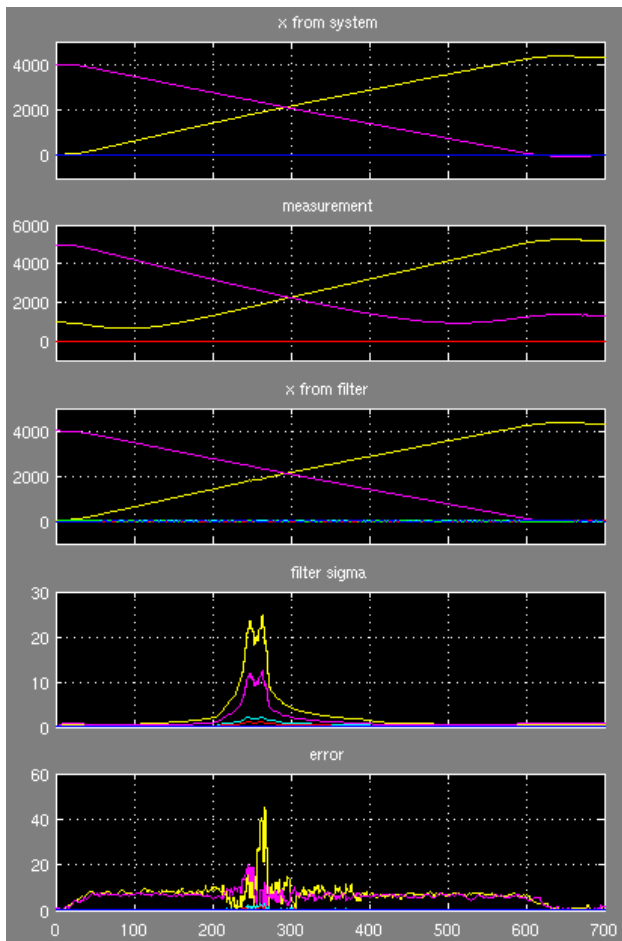


- Ergebnisse:

- Ausfall von 0 bis 200

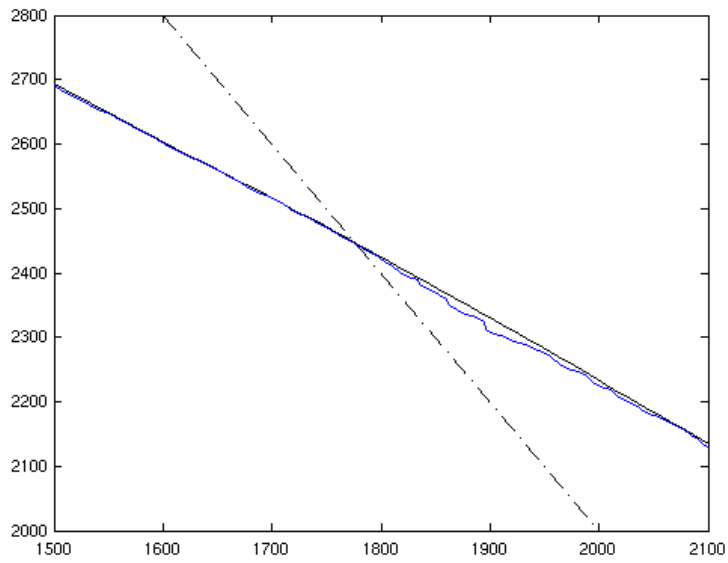


- Werte fasst wie vorher, etwas schlechter mit zunehmender Ausfallzeit
- Ausfall von 200 bis 400



- deutliche Verschlechterung

- Flugbahn und Filter-Vorhersage
  - mit funktionierendem a-Sensor



- mit Ausfall des a-Sensors von 200 bis 400

